

ОБЩАЯ ХИМИЯ

УДК 539.219.3

ВЗАИМОДЕЙСТВИЕ АЗОТА СО СПЛАВАМИ РАЗЛИЧНЫХ СТРУКТУРНЫХ ТИПОВ

К. Б. Калмыков, Н. Е. Русина, Н. Л. Абрамычева, С. Ф. Дунаев

(кафедра общей химии)

Показано, что в случае необходимости получения слоя нитрида алюминия на поверхности сплавов целесообразно использовать сплавы, обладающие структурой ОЦК и удельными объемами, достаточно близкими к удельному объему AlN. Для увеличения скорости роста азотированного слоя допустимо присутствие незначительного количества г-фазы. Изменение давления азота в интервале 10^5 – 10^7 Па не оказывает существенного влияния на процесс фазообразования в ходе азотирования. Азотирование сплавов из области γ и γ' -фаз приводит к возникновению значительных механических напряжений в системе с разрушением металлической матрицы, что делает невозможным использование таких сплавов для создания барьерных прослоек в материалах на основе нитрида алюминия и сложнолегированных сталей и никелевых сплавов.

Исследование кинетических закономерностей взаимодействия компактного нитрида алюминия со сплавами показало, что для обеспечения термодинамической стабильности поверхности раздела AlN/сплав необходима предварительная химико-термическая обработка металлической составляющей композиции, а именно азотирующий отжиг образцов. При этом в матрице металла будет образовываться слой включений из нитрида алюминия, что иногда может приводить к ее разрушению. Следовательно, необходима информация о способах формирования частиц нитрида алюминия в сплавах, обладающих различными кристаллическими структурами. Поэтому целью настоящей работы было исследование процесса азотирования сплавов на основе Al, Fe, Co, Ni при 1400 К и давлении азота 10^5 – $5 \cdot 10^7$ Па.

Как известно, азот относится к элементам, образующим растворы внедрения при соблюдении соотношения: $r/r_{\text{Me}} = 0.59$ [1]. Размеры атомов железа, кобальта и никеля удовлетворяют этому условию, однако, поскольку атомы внедрения располагаются в основном в октаэдрических и тетраэдрических пустотах, необходимо учитывать разницу в размере таких пустот в ОЦК- и ГЦК-структурах. В октаэдрическую пустоту можно вписать атом с радиусом $r_{\text{вп}} = 0.41r_{\text{ат}}$ (ГЦК) и $r_{\text{вп}} = 0.154r_{\text{ат}}$ (ОЦК), а в тетраэдрическую – с радиусом $r_{\text{вп}} = 0.22r_{\text{ат}}$ (ГЦК) и $r_{\text{вп}} = 0.291r_{\text{ат}}$ (ОЦК), где $r_{\text{ат}} = (a\sqrt{3})/2$ (ГЦК) и $r_{\text{ат}} = (a\sqrt{2})/2$ (ОЦК); a – период решетки [1].

Экспериментально установлено, что радиус реального атома, вписывающегося в пустоту, в соответствии с приведенным выше соотношением составляет $r_{\text{реал}} = 1.44r_{\text{расч.}}$

На рис. 1 приведены критические размеры атомов, способных образовывать растворы внедрения для γ - и β -Fe. Как видно, размеры атомов N (0.71 Å) и C (0.77 Å) [2] меньше критических для γ -Fe и больше для β -Fe. Поэтому растворимость этих элементов в твердом растворе на основе γ -фазы значительно выше, чем в растворе на основе β -фазы. Проведенные аналогичные расчеты для всех фаз соответствующих металлических систем показали, что благоприятному размерному фактору соответствует γ -твердый раствор на основе Fe, Co, Ni и упорядоченная ГЦК-фаза на основе Ni_3Al .

Кроме того, выделяющаяся фаза AlN имеет больший удельный объем по сравнению с матрицей. Удельный объем на один атом металла, рассчитанный на основании параметров ячейки, составляет ($\text{Å}^3/\text{ат.}$): для AlN – 12.57; для ОЦК-фаз: 12.03 (NiAl), 11.57 (CoAl), 12.23 (FeAl), 11.70 (β -Fe); для ГЦК-фаз: 12.05 (γ -Fe), 11.13 (Co), 10.90 (Ni), 11.56 (Ni_3Al).

И наконец, энергия связи азота с алюминием гораздо выше, чем с железом, кобальтом и никелем. Нитрид алюминия образуется уже при $C_{\text{Al}} \leq 1$ ат.% и $p_{\text{N}_2} = 10^5$ Па [2].

r_{β}	r_N	r_C	r_{γ}	
1	1	1	1	Å
0.5	0.6	0.7	10.5	N [2]
0.4			6	C [1]
~0.01				

Рис. 1. Критические размеры атомов внедрения и растворимость азота и углерода (ат.%) для γ - и β -Fe

Поэтому при азотировании сплавов систем Al–Fe–Ni и Al–Fe–Co практически весь алюминий поверхностного слоя сплава будет связываться в нитрид.

Исходные материалы и методика эксперимента

В качестве исходных материалов использовали Co и Ni (электролитические), Fe (армко), Al (чистота 99.99%). Сплавы получали в дуговой печи «LAYBOLD HERAUES» и гомогенизировали при 1400 К (100 ч) в вакуумированных кварцевых ампулах в печах электросопротивления. Точность поддержания температуры контролировали с помощью прибора РИФ-101М ($+/-1^\circ$), степень вакуума, измеренная прибором ВИТ-2, составляла не менее $5 \cdot 10^{-3}$ Па. Состав сплавов и их гомогенность контролировали методом электронно-зондового микронализма (ЭЗМА) на приборе «CAMEBAX-microbeam». Результаты приведены в таблице.

Состав тройных сплавов системы Al–Fe–Ni–Co

Номер сплава	Фаза	Состав, ат.%			
		Fe	Ni	Co	Al
1	Ni_3Al	18	61	-	21
	β' -NiAl	18	57	-	25
	γ -Ni	32	58	-	10
2	γ -Ni	58	34	-	8
	β' -FeAl	43	40	-	17
	γ -Ni	62	29	-	9
3	β' -Fe	64	21	-	15
	β' -NiAl	41	39	-	20
	γ -Ni	74	19	-	7
4	β' -Fe	74	15	-	11
	β' -Fe	70	10	-	20
	β' -FeAl	65	5	-	30
5	β' -FeAl	45	29	-	26
	β' -Fe	57	20	-	23
	β' -FeAl	47	35	-	18
6	β' -FeAl	40	37	-	23
	β' -Fe	50	-	20	30
	β' -Fe	60	-	20	20
7	β' -Fe	68	-	18	14
	β' -Fe	55	-	20	25
	β' -Fe	38	-	40	22
8	γ -Co	33	-	57	10
	β' -CoAl	32	-	45	17
	β' -Fe	38	-	45	17
9	β' -Fe	68	-	11	21
	β' -FeAl	60	-	15	25
	β' -Fe	45	-	35	20

Высокотемпературное азотирование сплавов систем Al–Fe–Ni и Al–Fe–Co проводили на установке термокомпрессионного отжига оригинальной разработки при давлении азота $5 \cdot 10^6$ – 10^7 Па и температуре 1400 К в течение разных промежутков времени (1, 4, 6, 25, 9, 16, 25 ч) с использованием азота (ГОСТ 9293-74, «ос.ч.»). Измерение толщины азотированного слоя после каждого отжига проводили на приборе «Versamet-2» с помощью окулярного микрометра «Union». Состав и структуру переходных зон исследовали методами ЭЗМА, РФА, оптической и растровой микроскопии.

Результаты эксперимента и обсуждение

Скорость взаимодействия азота со сплавами системы Al–Fe–Ni исследовали на образцах 1, 3, 5, 8, 10 (таблица) при давлении азота $5 \cdot 10^6$ – 10^7 Па. Кинетику азотирования

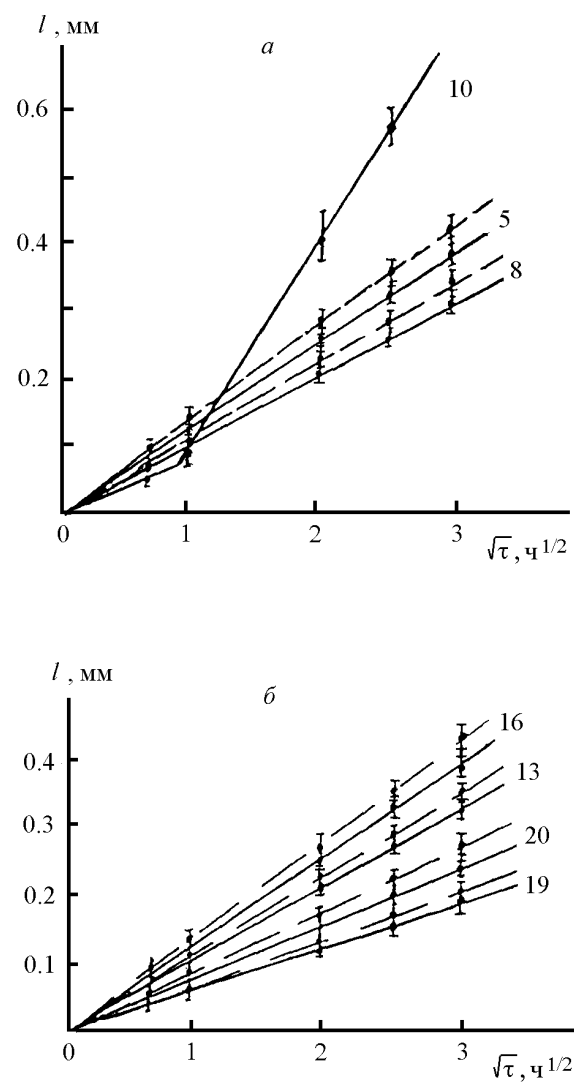


Рис. 2. Зависимость ширины азотированных слоев в различных сплавах (таблица) от времени отжига для системы: *a* – Al–Fe–Ni; *b* – Al–Fe–Co при p_{N_2} , Па: 1 – 10^7 , 2 – $5 \cdot 10^6$

сплавов из областей ($\gamma+\gamma'+\beta'$) и ($\gamma+\beta+\beta'$) изучить не удалось, поскольку в процессе отжига в атмосфере азота происходило разрушение образцов, при этом их объем увеличивался в 5–6 раз. На рис. 2, *a* приведена зависимость увеличения ширины азотированного слоя от времени отжига. Как видно, рост азотированного слоя подчиняется параболическому закону и практически не зависит от парциального давления азота.

Кинетику взаимодействия азота со сплавами системы Al–Fe–Co исследовали на следующих образцах: 16 из области ($\beta'+\gamma$), 13, 20 из области фазы β -Fe и 19 из области фазы β' -FeAl (таблица). На рис. 2, *b* приведена зависимость скорости роста азотированных слоев в данных сплавах от времени. Процесс протекает медленнее, чем в случае системы Al–Fe–Ni. Это вызвано тем, что на поверхности данных сплавов образуется более плотный слой нитрида алюминия, что препятствует диффузии азота в глубь сплава.

На рис. 3 приведены микроструктуры различных сплавов после азотирования. Так же как и скорость химического взаимодействия азота со сплавами, механизм образования частиц нитрида алюминия и микроструктура азотированных слоев изменяются в зависимости от состава сплава и строения его кристаллической решетки.

Взаимодействие сплавов, имеющих ОЦК-структурную, с азотом происходит в основном на поверхностях и дефектах структуры. Характер выделения нитрида алюминия зависит от соотношения удельных объемов AlN и металлической матрицы. При достаточно больших соотношениях образование новой фазы происходит в основном по поверхности, порам и микротрешинам. В случае, когда образующаяся фаза по объему больше матрицы, на поверх-

ности сплава и в районе дефектов будут образовываться плотные слои нитрида алюминия, препятствующие дальнейшей диффузии азота в глубь образца. Это относится к сплавам из области β/β' -фазы системы Al–Fe–Co. Структура таких сплавов после азотирования приведена на рис. 3, *a*. Если же новая фаза имеет меньший объем по сравнению с металлической матрицей, то при образовании ее зародыша появляется избыток вакансий. Равновесная концентрация вакансий в диффузионной зоне должна восстанавливаться либо по механизму Френкеля, либо рекомбинацией на дислокациях (эффект Киркендалла). Причем действие эффекта Киркендалла в случае диффузии азота будет подавляться, так как азот обладает достаточно большой энергией связи с дефектами, что препятствует движению дислокаций. Поэтому при восстановлении концентрации вакансий будет преобладать действие эффекта Френкеля, и в районе выделения частиц новой фазы будут образовываться поры. Подобное явление наблюдалось при азотировании тройного сплава из области β -фазы состава $Al_{26}Fe_{45}Ni_{29}$ (рис. 3, *b*). Как видно, выделения частиц алюминия имеют более рыхлую структуру и поэтому зачастую выкрашиваются при механической обработке.

При близких удельных объемах новой фазы и металлической матрицы центрами зародышебразования будут являться в основном дислокации. При этом возможно образование мелкодисперсных выделений AlN в объеме сплава (рис. 3, *c*). Образование таких слоев характерно для сплавов системы Al–Fe–Ni, лежащих в области β -фазы. Скорость роста азотированных слоев в данном случае должна увеличиваться, что подтверждается результатами исследования кинетики протекания данного процесса. В некоторых случаях по мере отжига наблюдается коалесценция частиц нитрида алюминия и на поверхности азотированного слоя образуется участок с более крупными выделениями AlN. При отклонении соотношения удельных объемов AlN и матрицы от идеального это явление вызывает увеличение механических напряжений, и при определенной толщине азотированного слоя происходит его отслоение.

Поскольку нитрид алюминия имеет гексагональную структуру и больший по сравнению с матрицей объем, в процессе коалесценции становится выгодным объединение отдельных выделений AlN, лежащих под углом $\sim 120^\circ$ по отношению друг к другу. При этом наблюдается образование частиц AlN кольцеобразной формы, причем внешняя граница кольца в некоторых случаях образует практически правильный шестиугольник, размер колец изменяется от 1 до 4 мкм. В процессе роста кристалла центр кольца «зарастает» (рис. 3, *д*).

В случае взаимодействия сплавов с ГЦК-структурой (на основе фаз Ni_3Al и Fe, Co, Ni) начинает действовать благоприятный размерный фактор [1]. При этом азот мо-

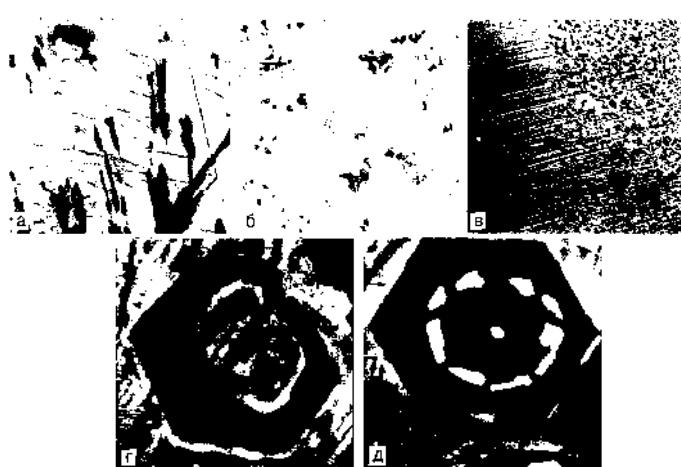


Рис. 3. Микроструктура сплавов системы Al–Fe–Ni после азотирующего отжига при 1400 К: *a* – $Fe_{68}Co_{18}Al_{14}$; *б* – $Fe_{45}Ni_{29}Al_{26}$; *в* – $Fe_{70}Ni_{10}Al_{20}$; *г, д* – последовательность формирования кристалла AlN

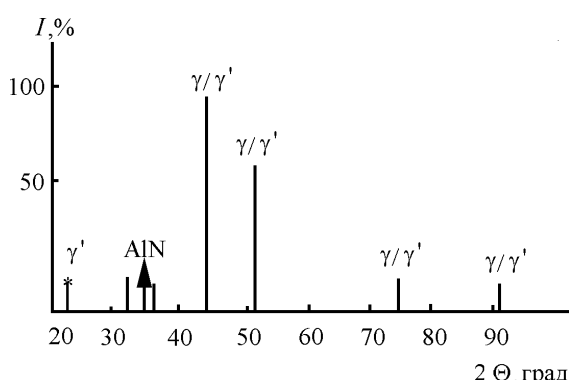


Рис. 4. Штрихиаграмма внешнего азотированного слоя в сплаве 1 (таблица) после отжига в азоте в течение 8 ч (CuK_α)

жет диффундировать в матрицу не только по дефектам, но и по междуузлям. В этом случае выделение частиц AlN происходит по непрерывному механизму и скорость роста азотированного слоя увеличивается. Это подтверждается строением азотированного слоя в сплаве 10 ($\text{Al}_{23}\text{Fe}_{40}\text{Ni}_{37}$), лежащего в β' -фазе на границе области $(\beta'+\gamma)$. Поскольку изначально сплав имеет ОЦК-структурную, взаимодействие его с азотом происходит в основном на поверхности. По мере связывания алюминия в нитридную фазу состав матрицы изменяется и переходит в двухфазную область $(\beta'+\gamma)$, и дальнейшее выделение частиц AlN происходит в первую очередь в γ -фазе. Поэтому в азотированном слое наблюдается скопление частиц AlN, и скорость роста азотированного слоя в данном сплаве будет выше, чем в других сплавах с ОЦК-структурой (рис. 2, а).

Характер и кинетика взаимодействия трехфазных сплавов системы Al–Fe–Ni, содержащих γ -фазу на основе никелевого твердого раствора с азотом, резко отличаются от однофазных сплавов из β - и β' -областей. Так после отжига в течение 4 ч трехфазного сплава $(\gamma+\gamma'+\beta')$ на поверхности образуются два слоя толщиной до 1 мм каждый.

РФА показал, что структура внешнего слоя относится либо к $\gamma_{\text{Ni}_3\text{Al}}$ либо к двухфазному слою $(\gamma+\gamma')$, посколь-

ку на рентгенограмме обнаружено присутствие сверхструктурных линий, относящихся к $\gamma'_{\text{Ni}_3\text{Al}}$.

Внутренний слой оказался двухфазным $(\gamma+\gamma')$. Такую же структуру имеет и приповерхностный слой в металле. Фаза AlN здесь также не была обнаружена. По-видимому, нитрид алюминия не успевает образоваться в кристаллической форме и существует в сплаве в виде ультрадисперсных выделений, поэтому на поверхности имеется трехфазный слой, состоящий из частиц AlN и фаз γ и γ' . ЭЗМА показывает усредненный состав этой смеси, попадающей в область β' -фазы. Механизм данного явления не ясен.

Более длительный отжиг (8 ч) привел к полному разрушению образца, и РФА образовавшегося порошка показал, что в нем присутствуют фазы γ , γ' и AlN (рис. 4).

Сплав 3 из области $(\beta+\beta'+\gamma)$ (таблица) реагирует с азотом аналогично предыдущему образцу. Однако этот процесс идет менее интенсивно, что, по-видимому, объясняется незначительным содержанием γ -фазы по сравнению с β - и β' -фазами.

Для проверки предложенной теории образования нитрида алюминия в сплавах, обладающих ГЦК-структурой, был проведен эксперимент по азотированию чистого Ni_3Al (плотноупакованная ГЦК-решетка). Результаты исследования показали, что в данном случае происходит увеличение объема образца, приводящее к образованию высокопористых слоев на поверхности, как и в случаях азотирования сплавов, содержащих γ/γ' -фазу. РФА этих слоев показал наличие в них $\gamma'-\text{Ni}_3\text{Al}$. При более длительном отжиге в азоте было обнаружено и присутствие нитрида алюминия. Следовательно, данный эксперимент подтвердил предлагаемую теорию механизма образования частиц нитрида алюминия в металлической ГЦК-матрице.

СПИСОК ЛИТЕРАТУРЫ

- Соколовская Е.М., Гузей Л.С. Металлохимия. М., 1987.
- Аверин В.В., Ревякин А.В., Федорченко В.И., Козина Л.Н. Азот в металлах // М., 1976.

Поступила в редакцию 20.12.98